魏斌, 欧红萍, 严光文, 等. 腹泻犬源大肠埃希菌耐药性以及整合子-基因盒检测研究[J]. 华南农业大学学报, 2018, 39(3): 6-12.

腹泻犬源大肠埃希菌耐药性以及整合子-基因盒检测研究

魏 斌¹, 欧红萍², 严光文³, 田一男¹, 但佳明¹, 涂 蕊¹, 肖启程¹, 朱子琦¹, 唐 丽¹, 杨亭玉¹, 彭广能¹, 钟志军¹

(1四川农业大学 动物医学院/动物疫病与人类健康四川省重点实验室,四川 成都 611130; 2成都农业科技职业学院,四川 成都 611130; 3 西昌学院 动物科学学院,四川 西昌 615000)

摘要:【目的】了解腹泻犬源大肠埃希菌 Escherichia coli 的耐药性以及整合子携带情况。【方法】采用 K-B 纸片扩散 法对 30 株分离自腹泻犬的大肠埃希菌进行 19 种抗菌药物的敏感性试验; PCR 检测菌株中是否携带 I、II、III型整合酶基因,对携带有整合酶基因的阳性菌株进一步检测 sull、qacEA1 基因以及可变区基因盒携带情况。【结果】 30 株分离株对 19 种抗菌药物表现出不同程度的耐药性,共产生 18 种耐药谱,对阿莫西林、氨苄西林、四环素和多西环素的耐药性较高,耐药率分别为 90.00%、83.33%、66.67% 和 63.33%; 对其余药物耐药性较低,耐药率低于 14.00%; 11 株分离株含有 I型整合酶基因且均携带 sull 和 qacEA1 基因,未检出 II型和III型整合酶基因; I型整合子阳性菌株中,有 2 株扩增出 1 879 bp 的耐药基因盒: dfrA12+orfF+aadA2。【结论】本次检测的腹泻犬源大肠埃希菌对抗菌药物呈不同水平的耐药性;基因盒介导的耐药性与菌株的耐药表型存在部分相关性,大肠埃希菌的耐药性与I型整合子存在一定关系。

关键词: 犬; 大肠埃希菌; 耐药性; K-B 纸片法; 整合子-基因盒

中图分类号: S855.1 文献标识码: A 文章编号: 1001-411X(2018)03-0006-07

Antimicrobial resistance and integron-gene cassette detection of *Escherichia coli* isolates from diarrhea dogs

WEI Bin¹, OU Hongping², YAN Guangwen³, TIAN Yi'nan¹, DAN Jiaming¹, TU Rui¹, XIAO Qicheng¹,
ZHU Ziqi¹, TANG Li¹, YANG Tingyu¹, PENG Guangneng¹, ZHONG Zhijun¹
(1 College of Veterinary Medicine, Sichuan Agricultural University/Key Laboratory of Animal Disease and Human
Health of Sichuan Province, Chengdu 611130, China; 2 Chengdu Agricultural College, Chengdu 611130, China;
3 College of Animal Science and Technology, Xichang College, Xi chang 615000, China)

Abstract: [Objective] To investigate the antimicrobial resistance of *Escherichia coli* from diarrhea dogs and the distribution of integron-gene cassettes in $E.\ coli$. [Method] The Kirby-Bauer disc diffusion method was used to test the susceptibility of 30 strains of $E.\ coli$ against 19 antimicrobial agents. PCR was used to detect the integrase genes(class I, II, III) in $E.\ coli$ isolates. We further detected if $E.\ coli$ isolates carrying integrase genes also carried the sul1, $qacE\Delta 1$ genes and gene cassettes in variable regions. [Result] Thirty isolates showed different levels of resistance to 19 antimicrobial agents with 18 kinds of resistant spectrum. $E.\ coli$ isolates had

收稿日期:2017-09-27 优先出版日期:2018-04-16

优先出版网址:http://kns.cnki.net/kcms/detail/44.1110.S.20180416.1032.020.html

作者简介: 魏 斌 (1992—), 女, 硕士研究生, E-mail: 865360412@qq.com; 通信作者: 钟志军 (1980—), 男, 副教授, 博士, E-mail: zhongzhijun488@126.com

基金项目: 国家自然科学基金 (31000548); 国家重点研发计划 (2016YFD0501009); 成都大熊猫繁育研究基金 (CPF2015-4); 四川农业大学本科生科研兴趣培养项目 (ky2016076)

high resistance to amoxicillin, ampicillin, tetracycline and doxycycline with drug resistance rates of 90.00%, 83.33%, 66.67% and 63.33%, respectively, while had low resistance to the other antimicrobials with drug resistance rates below 14.00%. Eleven out of 30 isolates were found to carry class I integrase, *sul1* and $qacE\Delta 1$ genes, and class II or class III integrase gene was not detected. Among the isolates carrying class I integrase gene, the dfrA12+orfF+aadA2 gene cassette of 1 879 bp length was successfully amplified from two isolates.

【Conclusion】 *E.coli* isolates from diarrhea dogs show different levels of resistance to antimicrobial agents. Antimicrobial resistance that mediated by gene cassettes is partially related to the resistant phenotype of *E.coli*. Class I integron shows a certain relationship with the antimicrobial resistance of *E.coli*.

Key words: dog; Escherichia coli; resistance; Kirby-Bauer disc diffusion method; integron-gene cassette

大肠埃希菌属于革兰阴性菌,是人和动物体内的正常寄生菌,属于条件性致病菌。致病性大肠埃希菌可引起以初生幼犬为主的急性肠道疾病,临床症状主要表现为腹泻、败血症等;大肠埃希菌还能引起成年犬、猫的肾盂肾炎和尿道炎等[1]。随着人们生活质量的提高,饲养宠物的数量日益增多,抗菌药物的不合理使用也日益严重[2]。已有人类感染犬源多重耐药细菌的报道[3]。对犬源大肠埃希菌的耐药性进行长期监测,有助于防止宠物源大肠埃希菌耐药性的扩散,同时也可为临床中的宠物用药提供依据[4]。

细菌耐药性被认为是人类和动物健康的重要 威胁, 耐药基因能够通过可移动遗传元件 (质粒、转 座子等) 在同种或不同种病原菌之间转移[5-7], 其中 整合子-基因盒系统在外源耐药基因的捕获、表达 及细菌进化过程中具有重要作用,引起了科学家的 广泛关注[7]。根据整合酶基因碱基序列的不同,整 合子至少分为8类,与耐药性有关的主要是 [类、 Ⅱ类和Ⅲ类整合子。资料表明,临床中耐药菌株主 要以 I 类整合子占比最高[8]。整合子主要通过特异 性位点重组的方式捕获外源基因盒并使其表达,整 合子可存在于质粒中或自身作为转座子的一部分 参与转移进而传播耐药基因[9-10]。目前,3类整合子 中发现与耐药性相关的基因盒多达80余种,这些 基因盒编码的产物导致了细菌对临床中常用的药 物产生了广泛的耐药性[11]。同一个整合子可变区携 带的耐药基因盒数量不等,使宿主菌对药物产生了 多重耐药性。携带有整合子的细菌比未携带整合子 的细菌更趋向于表现出多重耐药性[12]。

本研究检测分离的 30 株腹泻犬源大肠埃希菌的耐药性及 I、II、III类整合子携带情况,分析分离株中整合子的携带情况及细菌的耐药表型,探究大肠埃希菌多重耐药株中整合子的分布情况,为宠物临床用药及犬源大肠埃希菌耐药性监测提供依据。

http://xuebao.scau.edu.cn

1 材料与方法

1.1 材料

大肠埃希菌菌株为动物疫病与人类健康四川省重点实验室 2016 年于成都地区腹泻犬中分离保存的菌株;大肠埃希菌质控菌株 (ATCC25922) 购于中国兽医药品监察所。

 $2 \times Taq$ PCR MasterMix、DL2000 DNA Marker、 大肠埃希菌 DH5 α 、细菌基因组 DNA 提取试剂盒均 购自天根生物试剂有限公司; pMD19-T 载体购自宝 生物工程 (大连) 有限公司。

试验共选择 19 种抗菌药物药敏纸片,均购于 杭州天和微生物试剂有限公司。抗菌药物包括青霉 素类:阿莫西林 (Amoxicillin, AML) 和氨苄西林 (Ambicillin, AMP), 每张药敏纸片含药量分别为 20、10 μg; 四环素类: 四环素 (Tetracycline, TET) 和 多西环素 (Doxycycline, DOX), 每张药敏纸片含药 量均为 30 μg; 酰胺醇类: 氯霉素 (Chloramphenicol, CHL) 和氟苯尼考 (Florfenicol, FFC), 每张药敏纸片含 药量均为 30 μg; 磺胺类: 复方新诺明 (Sulfamethoxazole, SXT), 每张药敏纸片含药量为 23.75/1.75 µg; 氨基 糖苷类:链霉素 (Streptomycin, STR)、庆大霉素 (Gentamicin, GM)、卡那霉素 (Kanamycin, Kan)、新 霉素 (Neomycin, NEO) 和阿米卡星 (Amikacin, AMK),每张药敏纸片含药量分别为10、10、30、 30 和 30 μg; 喹诺酮类: 环丙沙星 (Ciprofloxacin, CIP)、诺氟沙星 (Norfloxacin, NOR) 和氧氟沙星 (Ofloxacin, OFX), 药敏纸片每张纸片含药量分别 为 5、10 和 5 μg; 头孢类: 头孢唑啉 (Cephazoline, CFZ)、头孢噻肟 (Cefotaxime Sodium, CTX) 和头孢 曲松 (Ceftriaxone, CRO), 每张药敏纸片含药量分别 为 20、30 和 30 μg; 单环 β-内酰胺类: 氨曲南 (Aztreonam, AZM), 每张药敏纸片含药量为 30 μg。

1.2 方法

1.2.1 药敏试验 根据美国临床和实验室标准协

会 (CLSI) 推荐的纸片琼脂扩散法 (Kirby-Bauer, K-B)^[13]测定分离株对 19 种抗菌药物的抑菌圈直径,以大肠埃希菌 ATCC25922 的药敏结果为对照,依据CLSI 标准进行判定。

1.2.2 DNA 的提取 大肠埃希菌 DNA 采用细菌

基因组 DNA 提取试剂盒进行提取。

1.2.3 整合子-基因盒引物序列 扩增 3 类整合子、I 型整合子可变区 (基因盒) 及 *sull-qacEA1* 基因,引物序列见表 1。引物由上海英俊技术生物有限公司合成。

表 1 整合子-基因盒引物序列

Tab. 1 Primers used for integron-gene cassettes application

基因/基因盒	引物	序列(5′→3′)	产物大小/bp	
intI1	HS463a ^[14]	CTGGATTTCGATCACGGCACG	471	
	HS464 ^[14]	ACATGCGTGTAAATCATCGTCG		
qacE∆1-sul1	qacE Δ 1-sul1F ^[15]	ATCGCAATAGTTGGCGAAGT	800	
	qacE Δ 1-sul1R ^[15]	GCAAGGCGGAAACCCCGCC		
基因盒插入区	HS458 ^[14]	GTTTGATGTTATGGAGCAGCAACG	可变	
	HS459 ^[14]	GCAAAAAGGCAGCAATTATGAGCC		
intI2	intI2-F ^[16]	CAAGCATCTCTAGGCGTA	1 056	
	intI2-R ^[16]	AGTAGCATCAGTCCATCC		
intI3	intI3-F ^[16]	CATCAAGCTGCTCGATCA	878	
	intI3-R ^[16]	ACAACTCTTGCACCGTTC		

所有 I 型整合子阳性菌株均进行 *sul1-qacEΔ1* 基因的扩增。PCR 反应体系: $2 \times Taq$ PCR MasterMix 12.5 μL, 2 μL 模板 DNA, 上、下游引物 (10 μmol·L⁻¹) 各 1 μL, ddH₂O 8.5 μL。循环条件: 94 $^{\circ}$ 预变性 4 min; 94 $^{\circ}$ 60 s, 60.5 $^{\circ}$ 50 s, 72 $^{\circ}$ 80 s, 共 32 个循环; 72 $^{\circ}$ 10 min。10 g·L⁻¹ 的琼脂糖凝胶电泳对产物进行初步验证。

1.2.5 分离株中整合子—基因盒的扩增 整合子可变区的 PCR 扩增采用 25 μ L 反应体系: $2\times Taq$ PCR MasterMix 12.5 μ L,2 μ L 模板 DNA,上、下游引物 (10 μ mol·L⁻¹) 各 1 μ L,ddH₂O 8.5 μ L。循环条件: 94 $^{\circ}$ 预变性 5 min; 94 $^{\circ}$ 45 s,55 $^{\circ}$ 45 s,72 $^{\circ}$ 2 min,共 36 个循环;72 $^{\circ}$ 5 min。10 g·L⁻¹ 的琼脂糖凝胶对整合子可变区的 PCR 产物进行电泳初步分析。

将 PCR 扩增出的不同整合子可变区片段经胶回收纯化后,连接 pMD19-T 载体并转化至大肠埃

希菌 DH5α 感受态细胞中,由北京六合华大基因科技有限公司进行测序分析。测序结果与 GenBank 中相应序列进行比对 (BLAST),分析菌株中基因盒的组合形式。

1.3 数据处理

依据菌株中整合子检测结果,将分离株分为整合子携带阳性组和阴性组。采用 SPSS 软件中 χ^2 检验对 30 株分离株的耐药率进行统计学分析。

2 结果与分析

2.1 30 株犬源分离株的药敏试验结果

药敏试验结果显示, 30 株大肠埃希菌对 19 种药物表现出不同程度的耐药性 (表 2)。对阿莫西林、氨苄西林、四环素和多西环素的耐药率分别为 90.00%、83.33%、66.67% 和 63.33%,耐药性很高; 而对头孢唑啉、头孢噻肟、阿米卡星、氨曲南等敏感性较高, 敏感率大于 80%; 其他药物耐药率为 3.33%~36.67%。从抗生素大类分析,耐药率高低依次为: 青霉素类 (83.33%~90.00%)>四环素类 (63.33%~66.67%)>酰胺醇类 (33.33%~36.67%)>磺胺类 (30.00%)>氨基糖苷类 (3.33%~23.33%)>喹诺酮类 (3.33%~6.67%)>,为 数 炎 单环 β — 內 酰 胺类 (3.33%)。

2.2 大肠埃希菌的多重耐药及耐药谱

30 株大肠埃希菌中耐受 1 种抗生素的菌株有 http://xuebao.scau.edu.cn

表 2 30 株大肠埃希菌对 19 种抗菌药物	》的药敏结果"
-------------------------	---------

Tab. 2	Susceptility result	of 30 Escherichia	coli isolates :	against 19	antimicrobial agents
--------	---------------------	-------------------	-----------------	------------	----------------------

	药物 一	总体耐药性/%			整合子耐药性/%		
抗生素分类		耐药率	中介率	敏感率	整合子携带阴性株	整合子携带阳性株2)	
青霉素类	阿莫西林	90.00	3.33	6.67	100.00	72.73*	
	氨苄西林	83.33	16.67	0	84.21	81.82	
四环素类	四环素	66.67	3.33	30.00	57.89	81.82	
	多西环素	63.33	20.00	30.00	52.63	81.82*	
酰胺醇类	氯霉素	36.67	3.33	60.00	15.79	72.73**	
	氟苯尼考	33.33	3.33	63.33	21.05	54.55	
磺胺类	复方新诺明	30.00	0	70.00	10.53	63.64**	
氨基糖苷类	链霉素	23.33	13.33	63.33	10.53	45.45*	
	庆大霉素	13.33	0	86.67	5.26	27.27	
	卡那霉素	6.67	20.00	73.33	0	18.18*	
	新霉素	3.33	16.67	80.00	0	0	
	阿米卡星	3.33	0	96.67	0	9.09	
喹诺酮类	环丙沙星	6.67	3.33	90.00	0	18.18*	
	诺氟沙星	6.67	3.33	90.00	0	18.18*	
	氧氟沙星	3.33	3.33	93.33	0	9.09	
头孢类	头孢唑啉	3.33	0	96.67	0	9.09	
	头孢噻肟	3.33	0	96.67	0	0	
	头孢曲松	3.33	3.33	93.33	0	9.09	
单环β-内酰胺类	氨曲南	3.33	0	96.67	0	9.09	

1)共有30株分离株,整合子阴性株和阳性株分别为11和19株;2)*和**分别表示整合子携带阳性株与整合子携带阴性株的耐药性在0.05和0.01水平差异显著(χ^2 检验)

3 株,占 10%; 耐受 2 种抗生素的菌株有 6 株,占 20%; 耐受 3 种及 3 种以上抗生素的菌株有 21 株,占 70%。由表 3 可知,大肠埃希菌对 19 种抗菌药物共产生 18 种耐药谱,最多的耐药谱抗生素组合是 A M L / D O X / A M P / T E T、A M L / A M P、AML/DOX/CHL/FFC/AMP/TET 和 AML。

2.3 30 株犬源大肠埃希菌中整合子的 PCR 扩增 结果

30 株大肠埃希菌中共检出 *intI1*(I 型整合子) 阳性菌 11 株,菌株编号分别为 2、8、9、11、14、18、21、27、31、34 和 40,检出率为 37%,未检出 *intI2* 和 *intI3*。部分大肠埃希菌 *intI1* 基因的扩增结果见图 1。11 株 I 型整合子阳性菌株均进行 *sul1-qacEΔI* 基因的扩增,结果 (图 2)显示,11 株整合子阳性菌均携带 *sul1* 和 *qacEΔI* 基因,检出率为 100%。

2.4 11 株分离株中 I 型整合子-基因盒的 PCR 扩增结果

11 株 *intI1* 阳性菌株进行 I 型整合子可变区的 扩增,发现 9 株菌株含有整合酶但未携带耐药基因 http://xuebao.scau.edu.cn 盒, 只有编号为 21 和 40 的 2 株菌株含有耐药基因 盒, 其 PCR 产物为 1 879 bp(图 3)。分别对 2 株菌株 的耐药基因盒进行克隆, PCR 鉴定后进行测序, 与 GenBank 中相应序列进行比对分析, 结果显示, 此次 PCR 扩增可变区得到的类型均为: dfr A 1 2 + orfF+aadA2 [介导甲氧苄氨嘧啶 (二氢叶酸还原酶)+假定蛋白+链霉素、大观霉素 (氨基糖苷腺苷转移酶)], 检出率为 18.18%。

2.5 整合子-基因盒与分离株耐药性的相关性分析

11 株 I 型整合子阳性分离株中, 6 株菌表现为 多重耐药 (≥3 种抗菌药物), 多重耐药率为 54.55%; 19 株 I 型整合子阴性大肠埃希菌中, 有 14 株菌表 现为多重耐药, 多重耐药率为 73.68%。 SPSS 统计 软件中的 χ² 检验结果显示, 2 组大肠埃希菌对阿莫 西林、多西环素、链霉素、卡那霉素、诺氟沙星、环丙 沙星的耐药率为整合子阳性菌株显著高于阴性菌 株; 对复方新诺明、氯霉素的耐药率为整合子阳性 菌株极显著高于阴性菌株。

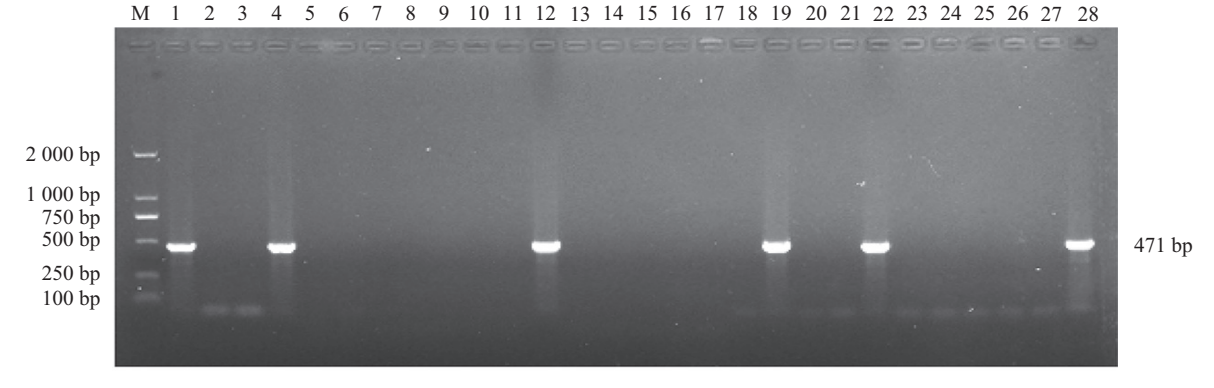
从表 3 的犬源大肠埃希菌耐药表型与整合子-

表 3 大肠埃希菌耐药菌株的耐药谱

Tab. 3 Resistance spectrum of Escherichia coli resistant strains

大源大肠埃希菌 菌株编号	────────────────────────────────────	犬源大肠埃希菌 菌株编号	耐药谱1)
4, 5, 10, 29, 32, 33	AML/DOX/AMP/TET	8	DOX/TET/SXT
1, 9, 13, 25, 37	AML/AMP	23	AML/DOX/AMP/SXT
2, 11, 36	AML/DOX/CHL/FFC/AMP/TET	28	DOX/TET
6、7	AML	14	GM
3	AML/DOX/STR/AMP/TET/SXT	34	AML/DOX/CHL/STR/
18	AML/DOX/CHL/STR/AMP/TET/SXT	38	AMP/TET/SXT AML/CHL/FFC/AMP/TET
21	AML/AMP/TET/DOX/CHL/FFC/SXT/STR/	39	AML/CHL/FFC/STR/AMP/TET
	GM/KAN/CIP/NOR/AMK/CRO/CEZ/CTX/		
	AZM/OFX		
27	AML/DOX/CHL/FFC/AMP/STR/TET/SXT	41	AML/GM/NEO/FFC/AMP
40	AML/AMP/TET/DOX/CHL/FFC/SXT/STR/	31	AML/CHL/FFC/AMP/TET/SXT
	GM/KAN/CIP/NOR		

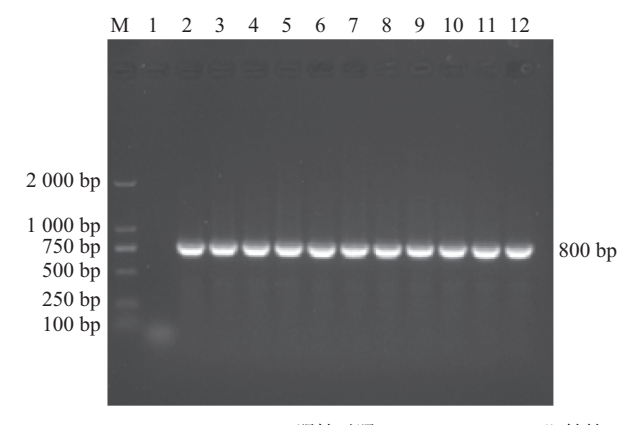
1)AML: 阿莫西林; AMP: 氨苄西林; TET: 四环素; DOX: 多西环素; CHL: 氯霉素; FFC: 氟苯尼考; SXT: 复方新诺明; STR: 链霉素; GM: 庆大霉素; KAN: 卡那霉素; CIP: 环丙沙星; NOR: 诺氟沙星; AMK: 阿米卡星; CRO: 头孢曲松; CEZ: 头孢唑啉; CTX: 头孢噻肟; AZM: 氨曲南; OFX: 氧氟沙星



M: DL2000 DNA Marker; 1: 阳性对照; 2: 阴性对照; 4、12、19、22 和 28 表示部分 *intI1* 阳性株; 3、5、6、7、8、9、10、11、13、14、15、16、17、18、20、21、23、24、25、26 和 27 表示部分 *intI1* 阴性株

图 1 【 类整合子 PCR 产物的电泳图

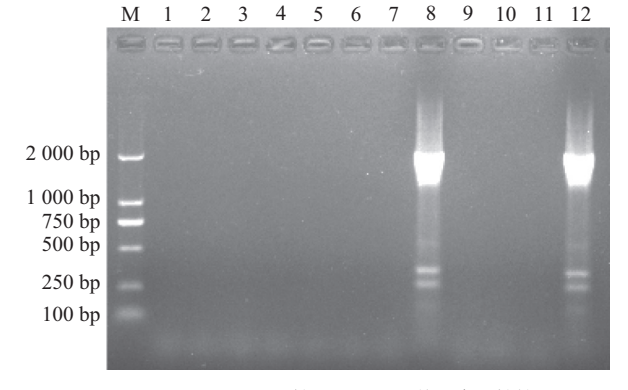
Fig. 1 Agarose gel electrophoresis results for PCR products of IntI1



M: DL2000 DNA Marker; 1: 阴性对照; 2~12: sul1-qacE△1 阳性株

图 2 sul1-qacEA1 基因 PCR 产物的电泳图

Fig. 2 Agarose gel electrophoresis results for PCR products of *sul1-qacEΔ1* gene



M: DL2000 DNA Marker; 1: 阴性对照; 8, 12: 基因盒阳性株; 2、3、4、5、6、7、9、10、11: 基因盒阴性株

图 3 基因盒 PCR 产物电泳图

Fig. 3 Agarose gel electrophoresis results for PCR products of gene cassettes

http://xuebao.scau.edu.cn

基因盒的关系中可以得出:30 株分离株中携带基因 盒的菌株均为多重耐药菌,编号为21的菌株耐 18 种药物; 编号为 40 的菌株耐 12 种药物; PCR 扩 增结果表明编号为21和40的菌株的基因盒携带 情况均为 dfrA12+orfF+aadA2, 且携带 I 型整合子; 基因盒所介导的耐药性与分离株的耐药表型只有 部分相关,即菌株不仅对基因盒介导的药物表现出 抗性,而且对其他药物也表现出抗性;相反,某些菌 株对一些药物表现出耐药性,但其相关的耐药基因 盒检测呈阴性。

3 讨论与结论

30 株犬源大肠埃希菌的药敏试验结果表明,分 离株对19种抗菌药物表现出不同程度的耐药性, 对氨苄西林、阿莫西林、四环素和多西环素表现出 很高程度的耐药性, 耐药率分别为90.00%、83.33%、 66.67% 和 63.33%, 高于其他检测结果[17-18], 对阿米 卡星、头孢曲松等其他药物耐药率低于或接近其 他检测结果[17,19-20]。以上结果表明,成都地区的犬源 大肠埃希菌耐药性与其他地区存在一定的差异,这 可能与菌株来源不同以及各地区的用药习惯、用药 方式及用药种类不同等有关。因此,各地区应该根 据动物病情以及药敏试验等,综合考虑轮换用药、 交叉用药以及联合用药的方式,减少动物抗生素的 滥用。

造成多重耐药菌流行的主要原因是整合子-基 因盒介导的耐药基因可在同种或不同种病原菌间 水平传递[21]。本试验对30株犬源大肠埃希菌进行 3类整合子的检测发现,37%的菌株携带有 I 型整 合子,未检出Ⅱ型、Ⅲ型整合子,低于闫国栋[^{7]}的 64.10% 和蒋月等[22]的 76.00%, 表明成都区域犬源 大肠埃希菌中 I 型整合子广泛流行。有文献表明, I型整合子在食品动物源大肠埃希菌[23-24]和大熊猫 等野生动物源菌株[25]中广泛分布。本次试验结果也 表明,在犬源大肠埃希菌中 I 型整合子也大量存 在,为大肠埃希菌在不同动物间耐药基因的水平传 播和交换提供了可能,应加强对动物源大肠埃希菌 整合子的监测。11 株 I 型整合子阳性菌株均携带 磺胺耐药基因 (sull) 和季铵盐化合物耐药基因 (qacE△I), 检出率为 100%, 表明 11 株 I 型整合子 阳性菌株均为典型的I类整合子。

对 11 株 intI1 阳性菌株进行耐药基因盒检测, 其中9株菌未检出基因盒。出现这一现象的原因可 能是,部分分离株中的整合子可变区携带基因盒的 数量过多,片段大,超过了试验中rTag酶的扩增范

http://xuebao.scau.edu.cn

畴;本试验的部分分离株是未携带基因盒的空整合 子菌株。剩余2株菌株携带基因盒的组合方式均 为 dfrA12+orfF+aadA2, 主要介导甲氧苄啶耐药 (dfrA12) 和氨基糖苷类耐药 (aadA2), 这与报道[26]认 为的 I 型整合子在临床菌株中大多携带 aadA、 dfrA 基因盒相一致,这从耐药基因水平验证了本试 验的分离株的耐药性与氨基糖苷类药物有一定相 关性。此外,本试验中基因盒介导的耐药性与分离 株的耐药表型只有部分相关,即分离株不仅对基因 盒所介导的药物具有耐药性,且对其他类药物也同 样产生抗性;反之,某些菌株对部分药物检测出耐 药性,但其并未携带耐药相关的基因盒。分析其原 因可能是:本试验仅对分离株的整合子-基因盒进 行了检测, 而耐药表型是多种耐药机制综合表现的 结果,如其他耐药基因的参与,细菌细胞膜的通透 性发生改变以及外排泵的存在导致药物的外排效 应等。本次试验中的分离株是否还有其他可移动遗 传元件参与抗生素的耐药调控,需要进一步的研究。

综上所述,本次检测的腹泻犬大肠埃希菌对多 种抗菌药物呈现出不同水平的耐药性,对青霉素类 药物耐药性最高。I型整合子已普遍存在于犬源大 肠埃希菌中,其与大肠埃希菌耐药性密切相关。虽 然整合子-基因盒不是导致大肠埃希菌产生耐药性 的唯一原因,但其与多重耐药菌株的产生与散播密 切相关。今后的研究中,应加强动物源大肠埃希菌 整合子-基因盒的检测,为临床中控制大肠埃希菌 的多重耐药菌株的形成和传播提供依据。

参考文献:

- [1] 张美君、廖晓萍、王秀梅、等、宠物源大肠杆菌的血清型 和毒力基因及耐药性调查[J]. 中国预防兽医学报, 2011, 33(8): 601-605.
- [2] 朱恒乾, 廖晓萍, 陈朝喜, 等. 宠物源大肠杆菌质粒介导 喹诺酮类耐药基因流行性检测[J]. 中国农业科学, 2010, 43(16): 3447-3454.
- JOHNSON J K, PERENCEVICH E N, LINCALIS D P, et al. Dog bite transmission of antibiotic-resistant bacteria to a human[J]. Infect Control Hosp Epidemiol, 2006, 27(7): 762-763.
- [4] 师志海, 王文佳, 兰亚莉, 等. 宠物源性大肠杆菌耐药性 调查[J]. 中国畜牧兽医, 2012, 39(7): 244-245.
- [5] VAN DEN BOGAARD A E, STOBBERINGH E E. Antibiotic usage in animals: Impact on bacterial resistance and public health[J]. Drugs, 1999, 58(4): 589-607.
- HAMPTON T. Report reveals scope of US antibiotic resistance threat[J]. JAMA, 2013, 310(16): 1661-1663.
- [7] 闫国栋. 不同源大肠杆菌耐药性及整合子-基因盒研究 [D]. 成都: 四川农业大学, 2015.
- [8] LABBATE M, CASE R J, STOKES H W. The

- integron/gene cassette system: An active player in bacterial adaptation[M]//MARIA G, JOHANN P G, LOR-RAINE D. Horizontal gene transfer: Genomes in flux. New Jersey: Humana Press, 2009: 103-125.
- [9] CAMERON F H, GROOT OBBINK D J, ACKERMAN V P, et al. Nucleotide sequence of the AAD(2") aminoglycoside adenylyltransferase determinant *aadB*: Evolutionary relationship of this region with those surrounding *aadA* in R538-1 and *dhfrII* in R388[J]. Nucleic Acids Res, 1986, 14(21): 8625-8635.
- [10] MAZEL D, DYCHINCO B, WEBB V A, et al. Antibiotic resistance in the ECOR collection: Integrons and identification of a novel *aad* gene[J]. Antimicrob Agents Ch, 2000, 44(6): 1568-1574.
- [11] MAZEL D. Integrons: Agents of bacterial evolution[J]. Nat Rev Microbiol, 2006, 4(8): 608-620.
- [12] 王海生, 扈瑞平, 高玉敏, 等. 牛源大肠杆菌 I 类整合子分子特征及其与耐药性关系的研究[J]. 中国畜牧兽医, 2014, 41(9): 63-68.
- [13] WAYNE P A. Clinical and laboratory standards institute: Performance standards for antimicrobial susceptibility testing[S]. Wayne: Clinical and Laboratory Standards Institute, 2011.
- [14] HOLMES A J, HOLLEY M P, MAHON A, et al. Recombination activity of a distinctive integron-gene cassette system associated with *Pseudomonas stutzeri* populations in soil[J]. J Bacteriol, 2003, 185(3): 918-928.
- [15] 魏伟. 猪源产肠毒素大肠杆菌多重 PCR 检测方法的建立及整合子介导的耐药性分析[D]. 南昌: 江西农业大学, 2014.
- [16] XU H, DAVIES J, MIAO V. Molecular characterization

- of class 3 integrons from *Delftia* spp.[J]. J Bacteriol, 2007, 189(17): 6276-6283.
- [17] 赵相胜. 犬源大肠杆菌耐药性及分子流行病学初步研究[D]. 长春: 吉林农业大学, 2014.
- [18] 何柳, 孙艳, 雷涛, 等. 宠物源大肠杆菌耐药性调查[J]. 中国兽医杂志, 2009, 45(8): 28-30.
- [19] 兰亚莉. 郑州市宠物源大肠杆菌生物被膜表型与耐药 谱型分析[J]. 河南农业科学, 2016, 45(1): 135-137.
- [20] RAVI A, AVERSHINA E, LUDVIGSEN J, et al. Integrons in the intestinal microbiota as reservoirs for transmission of antibiotic resistance genes[J]. Pathogens, 2014, 3(2): 238-248.
- [21] 林居纯, 曹三杰, 张辉建, 等. 动物源大肠杆菌整合子携带氨基糖苷类耐药基因盒的研究[J]. 中国兽医学报, 2011, 31(11): 1587-1590.
- [22] 蒋月, 盛鹏飞. 宠物源大肠杆菌耐药性与整合子关系的研究[J]. 畜牧与兽医, 2013, 45(8): 79-83.
- [23] 邹立扣, 蒲妍君, 杨莉, 等. 四川省猪肉源大肠杆菌和沙门氏菌的分离与耐药性分析[J]. 食品科学, 2012, 33(13): 202-206.
- [24] 林居纯, 舒刚, 张辉建, 等. 健康畜禽肠道大肠杆菌耐药性及整合子-基因盒检测[J]. 中国兽医学报, 2014, 34(1): 56-60.
- [25] 闫国栋, 刘颂蕊, 侯蓉, 等. 大熊猫粪源大肠杆菌耐药性及整合子研究[J]. 四川动物, 2015, 34(4): 489-493.
- [26] LEILA S, YOLANDA S, CAEMEN T, et al. *Escherichia coli* of poultry food origin as reservoir of sulphon-amide resistance genes and integrons[J]. Int J Food Microbiol, 2011, 144(3): 497-502.

【责任编辑 霍 欢】